

(討21) 鉄鋼の照射脆化に関する転位現象論

東大工学部

井形直弘

§1 序 これまで鉄鋼の照射脆化については照射硬化すなわち照射による降伏強さの上昇を中心にして論じられてきた。(1)~(3) またその場合硬化と微細組織要因との関連についても研究されてきている。(3)~(6) 本研究ではこれまで余りとりあげられなかった照射にもとづく加工硬化指数の変化と延性ロスの問題もとりあげこれを転位現象論的に解析することを目的としている。(9)(10)

§2 転位現象論

2.1. 加工硬化指数 n 加工硬化指数は真応力 σ と真歪 ϵ との関係が $\sigma = \alpha \epsilon^n$ の関係で示される場合の指数として定義されている。上降伏下降伏を伴う場合には不均一変形を生じているのでこの部分を除外して考えなければならぬ。鉄鋼を照射した場合 n 値は減少を示す。この n の値は転位を媒介として考えると次のようにあらわされる。

$$n = \frac{d \log \sigma}{d \log \epsilon} = \frac{d \log \sigma}{d \log \rho} \cdot \frac{d \log \rho}{d \log \epsilon} \quad (1)$$

式中 ρ は転位密度を示す。 σ と ρ との関係は厳密には $\rho^{\frac{1}{2}}$ の関数であらわされる。

$$\sigma = \sigma_0 + \alpha \mu b \rho^{\frac{1}{2}} \quad (2)$$

ここで μ はせん断弾性率, b はバークスベクトル, α は 1.5 以下の定数, σ_0 は摩擦力の項で obstacle が増加する場合は σ_0 の値が上昇する。(2)式より

$$\frac{d \log \sigma}{d \log \rho} = \frac{\frac{d \sigma}{\sigma}}{\frac{d \rho}{\rho}} = \frac{\frac{1}{2} \alpha \mu b \rho^{-\frac{1}{2}}}{\sigma_0 + \alpha \mu b \rho^{\frac{1}{2}}} = \frac{1}{2} \left[\frac{\sigma - \sigma_0}{\sigma} \right] = \frac{1}{2} \left[1 - \frac{\sigma_0}{\sigma} \right] \leq \frac{1}{2} \left[1 - \frac{\sigma_0}{\sigma_u} \right] \quad (3)$$

ここで σ_u は引張強度を示す。 $\log \sigma$ と $\log \rho$ は厳密には σ によって変化するが σ のある範囲内の値に対しては直線関係として取扱うことができ、その間は σ_0 によって大きく変る。(3)式より $\sigma_0 = 0$ の場合には $d \log \sigma / d \log \rho$ は 0.5 となり、 $\sigma_0 \leq \sigma_u$ のような σ_0 の大きな値の場合には 0 まで低下する。

次に転位の増殖機構については Frank Read 型増殖機構(転位線と同一平面内での増殖)と Gilman 型増殖機構(交叉点による増殖)とが考えられている。前者の場合

$$\epsilon_F = C_F \rho_F^2, \quad \text{後者の場合} \quad \epsilon_G = C_G \rho_G \quad \text{と} \quad \text{いう関係であらわされる。従って}$$

$d \log \rho / d \log \epsilon$ の値は F.R. 型の場合には 0.5, G 型の場合には 1.0 とする値が考えられる。若し両者が混在する場合には ρ_F / ρ , ρ_G / ρ は一定と考える

$$\epsilon = \epsilon_F + \epsilon_G = C_F \rho^2 + C_G \rho \quad (4)$$

従って

$$\frac{d \log \rho}{d \log \epsilon} = \frac{1}{\frac{d \log \epsilon}{d \log \rho}} = \frac{1}{\frac{d \epsilon}{d \rho} \left(\frac{\rho}{\epsilon} \right)} = \frac{1}{1 + \frac{\epsilon_F}{\epsilon_F + \epsilon_G}} \quad (5)$$

この場合にも $\frac{d \log \rho}{d \log \epsilon}$ は厳密には ϵ と共に変化するが ϵ のある範囲内の値に対して一定値をもつとする。(5)式の場合 F.R. 型増殖から G 型増殖への割合が増すに従って $d \log \rho / d \log \epsilon$ は 0.5 から 1 へ移り変る。 obstacle が増加すると G 型増殖が増すものと考えられる。たゞし channeling などの場合は別に考えねばならない。(1), (3) 及び (5) 式より n の値としては $\sigma_0 = 0$ の場合 $d \log \sigma / d \log \rho = 0.5$, $d \log \rho / d \log \epsilon = 0.6$ として $n = 0.3$ とする値をとり σ_0 が増大するにつれて $n = 0$ に近づくと考えられる。

2.2. 抗張伸び 抗張伸びは一般に次の2つの制約条件がある。その1つは ρ 値による制約であり一般によく知られているように次の条件で制限される。

$$\rho = \epsilon_u \tag{6}$$

これより obstacle で ρ が減少するような場合当然 ϵ_u も減少せざるを得ない。第2の判約は金属組織的要因により $\rho > \epsilon_u$ となる場合があると言う事である。これは転位密度がある限界値をとることによってクラックを生じはしめると考えれば理解できる。純鉄の場合降伏強さ σ_y と引張強度 σ_t を示す事での転位密度を ρ_e, ρ_t , 粒径を d とすると図1に示されるように次の関係がある。

$$\rho_e d = C_1, \quad \rho_t d = C_2 \tag{7}$$

降伏強さにおける関係は次のように考えられる。すなわち塑性変形を緩和するために生じた転位による歪エネルギーが粒界エネルギーにバランスしているとし、転位線のもつ歪エネルギー(コアのエネルギーを省略)を $\frac{1}{2}\mu b^2$ とあらわし粒界エネルギーを γ_B とすると次式が成立す。

$$\frac{4}{3}\pi\left(\frac{d}{2}\right)^3 \rho_e \left(\frac{1}{2}\mu b^2\right) = 4\pi\left(\frac{d}{2}\right)^2 \gamma_B \quad \text{又は} \quad \rho_e d = \frac{12\gamma_B}{\mu b^2} \tag{8}$$

純鉄の場合 $\gamma_B = 780 \text{ erg/cm}^2$ とすると(8)式より $\rho_e d = 1.9 \times 10^7 \text{ cm}^{-1}$ となり実験値とよく一致する。次に降伏を過ぎた場合には転位密度も上昇するが粒界も Corrugated boundary を生じ粒界面積がひろがり示す。写真1はそれを示す。引張強さの点(荷重最大点)では粒内にクラックを生じはしめると仮定し、転位の歪エネルギーが粒界エネルギー及びクラック表面エネルギーとバランスすると考えると、

$$\frac{4}{3}\pi\left(\frac{d}{2}\right)^3 \rho_t \left(\frac{1}{2}\mu b^2\right) = 4\pi\alpha\left(\frac{d}{2}\right)^2 \gamma_B + 2\pi\beta\left(\frac{d}{2}\right)^2 \gamma_s \tag{9}$$

ここで α は粒界面積増加係数、 β はクラック表面積の粒断面積に対する比、 γ_s は表面エネルギーを示す。 $\therefore \rho_t d = \frac{12\alpha\gamma_B + 6\beta\gamma_s}{\mu b^2} = \frac{48\gamma_B}{\mu b^2} = 4\rho_e d$ (10)

ここで $\alpha = 2, \beta = 2, \gamma_s = 2\gamma_B$ と仮定している。すなわち引張強さを示す事での転位密度は降伏強さ点での転位密度のほぼ4倍となることになるが図1の実験結果とよく一致している。ここで金属組織因子に於いた臨界転位密度が存在すると言うことを強調しておく。

若し粒内に歪中心となる obstacle が存在する場合には1つの obstacle の有する平均歪エネルギーを E_0 。Obstacle の密度を N とあらわすと(8)式及び(10)式における

$$\rho_e \left(\frac{1}{2}\mu b^2\right) \quad \text{又は} \quad \rho_t \left(\frac{1}{2}\mu b^2\right) \quad \text{の代りに} \quad \rho_e \left(\frac{1}{2}\mu b^2\right) + NE_0$$

$\rho_t \left(\frac{1}{2}\mu b^2\right) + NE_0$ と置かなければならぬので ρ_e 及び ρ_t は次のようにあらわされる。

$$\rho_e = \frac{12\gamma_B}{\mu b^2 d} - \frac{2NE_0}{\mu b^2} \tag{11}$$

$$\rho_t = \frac{48\gamma_B}{\mu b^2 d} - \frac{2NE_0}{\mu b^2}$$

(11)式は obstacle により ρ_t の値が低くなることを示している。

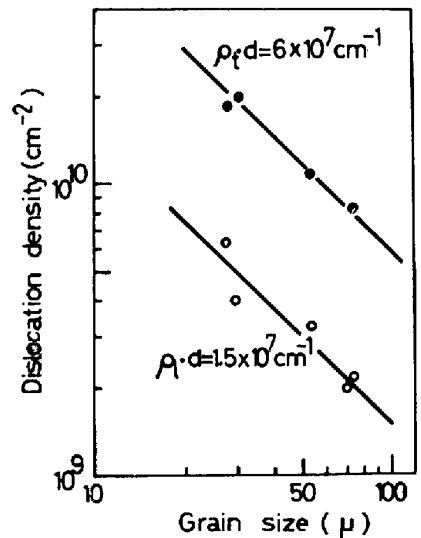


図1. 降伏強さ及び引張強度点における転位密度と粒度の関係

ここで先に述べた $\log \rho$ の $\log \epsilon$ に対する係数を m とし $\epsilon=1$ における転位密度を ρ_0 とすると、

$$\rho = \rho_0 \epsilon^m \quad (12)$$

但し m は先にも述べたようにある範囲内で一定と見做す。
 $\rho = \rho_t$ のとき $\epsilon = \epsilon_u$ とあるとすると

$$\epsilon_u = \left(\frac{\rho_t}{\rho_0}\right)^{\frac{1}{m}} \quad (13)$$

(13)式は粒内に obstacle が存在し臨界転位密度を小さくしたりまた転位の増殖を促進したりするような場合には ϵ_u は n 値と関係なく小さくなる。転位が臨界転位密度に達しミクロクラックを発生する場合には、その部分の試片断面積 A の減少速度は引張力 σ の歪速度依存性 $\sigma = k \epsilon^p$ より

$$-\frac{dA}{dt} = \left(\frac{\rho}{k}\right)^{\frac{1}{p}} A^{(1-\frac{1}{p})} \quad (14)$$

(ここで p は引張指数である) となり A のわずかな変化が大きく影響し、ネcking を生じ易くなる。

2.3. 照射にもとづく加工硬化指数及び抗張伸ひの減少 中性子照射を受けた純鉄及び鉄合金中では点欠陥と固溶N原子又はC原子が複合点欠陥を形成し転位の運動に対する obstacle となつて照射硬化を生ずることについてはこれまで報告されてきている。また時効の場合にも obstacle による硬化と言う点では同じような取扱いができる。

加工硬化指数については(3)及び(5)式で考えられる。 $d \log \sigma / d \log \rho$ は照射又は時効による obstacle 形成のため σ_n の上昇がみとめられ、そのため 0.5 以下 0 に向つて変化する。 $d \log \rho / d \log \epsilon$ は σ_n の上昇により Gilman 機構の増殖直が多くなるためと考えられるが σ_n の上昇と共に 0.5 から 1.0 まで変化する。

(Channeling を除く) その結果として n の値は 0.3 近くの値から 0 近くまで減少する。(図2参照)

抗張伸ひの照射又は時効による減少については先が先に n 値が著しく減少することにより ϵ_u の値も共に低下せざるを得ない。次に n の値より低い場合でも金属組織要因によつては ϵ_u は低い値を示す。(13)式から判るように照射又は時効による obstacle は (ρ_t/ρ_0) 値の減少を示す。図3は σ_n の上昇による (ρ_t/ρ_0) の低下及び ϵ_u の減少を示している。

次に図4には加工硬化指数 n (実験値) と抗張伸ひ ϵ_u との関係を示している。照射前、照射後、時効後何れの場合も $n \geq \epsilon_u$ の関係を示している。



写真1 降伏後加工硬化過程で形成される corrugated boundary

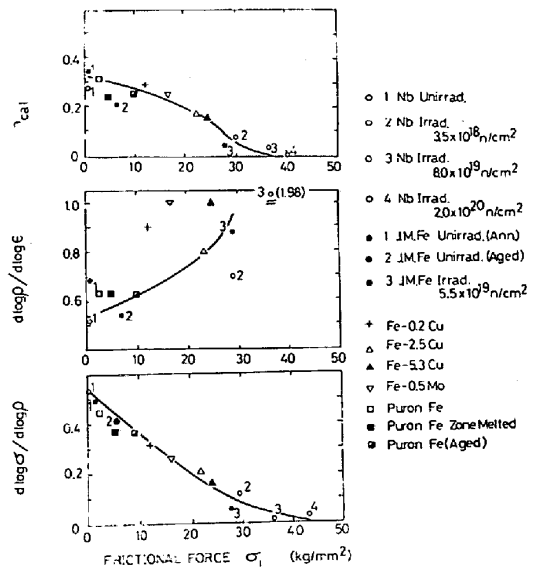


図2 $\frac{d \log \sigma}{d \log \rho}$, $\frac{d \log \rho}{d \log \epsilon}$ 及び n の計算値と σ_n の関係 (9)(10)

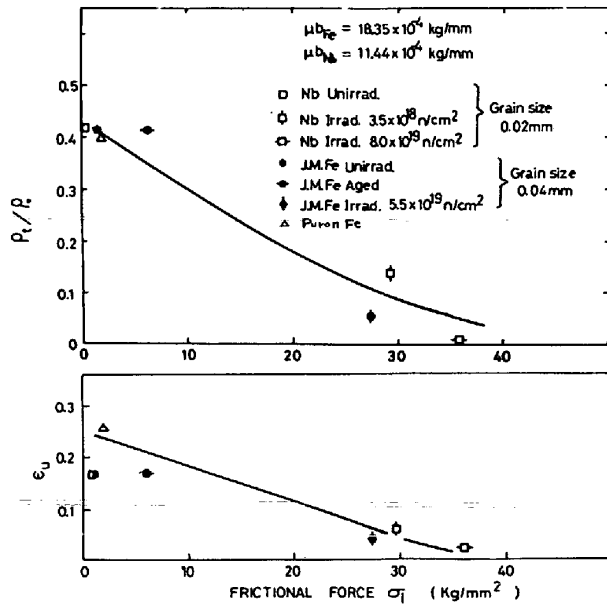


図3 P_t/P_0 及び ϵ_u と σ_f の関係 (9)(10)

§3 結言 以上より中性子照射による脆化に關し転位現象論的に検討した結果が得られた。

① 照射(又は時効)により加工硬化指数は減少するがその主な要因は $\frac{d \log \sigma}{d \log \rho}$ が σ_f の上昇のため小さくなることである。

② 照射(又は時効)により抗張伸率は減少するがこの要因の1つは n 値が減少することであり、他のそれは照射(又は時効)によつて臨界転位密度が小さくなり転位障害値が変化するためである。

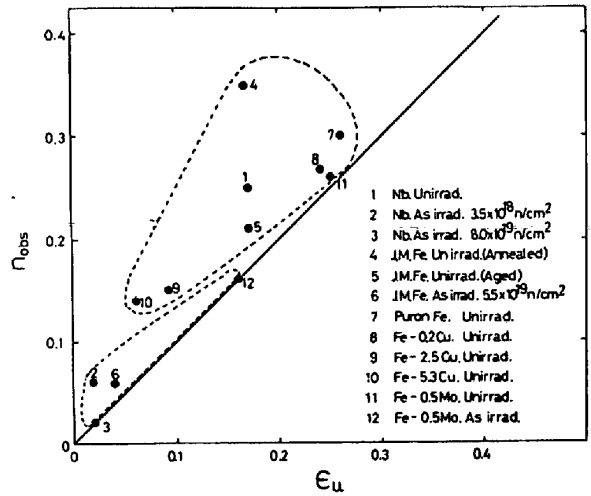


図4 n と ϵ_u の関係 (9)(10)

引用文献

- (1) N. Igata and R. R. Hasiguti, Trans. Iron and Steel Inst. Japan 8(1968)25
- (2) N. Igata and R. R. Hasiguti, J. Nuclear Materials 30(1968)234
- (3) 井形直弘, 日本金属学会会報 11(1969)764
- (4) N. Igata, R. R. Hasiguti and S. Seto, Trans. Iron and Steel Inst. Japan 10(1970)21
- (5) N. Igata, R. R. Hasiguti, E. Yagi, U. Nishiike and K. Watanabe, ASTM STP484(1971)128
- (6) N. Igata, R. R. Hasiguti and K. Watanabe, Proc. 4th United Nations Int. Conf. on Peaceful Uses of Atomic Energy Vol 10(1972)153 Part 2
- (7) N. Igata, K. Watanabe and S. Sato, ASTM STP529(1973)63
- (8) N. Igata, R. R. Hasiguti and K. Watanabe, Proc. of the 3rd Int. Conf. on the Strength of Metals and Alloys Vol 1(1973)21
- (9) N. Igata, H. Kayano and K. Watanabe, to be published. (1974)
- (10) N. Igata, S. Sato, H. Kayano and S. Seto, to be published. (1974)